

METODA ZPĚTNÉ ANALÝZY NAPĚtí PŘI POSOUZENÍ KONSTRUKCE

Ferydun Nazari, VUT Brno, katedra geotechniky

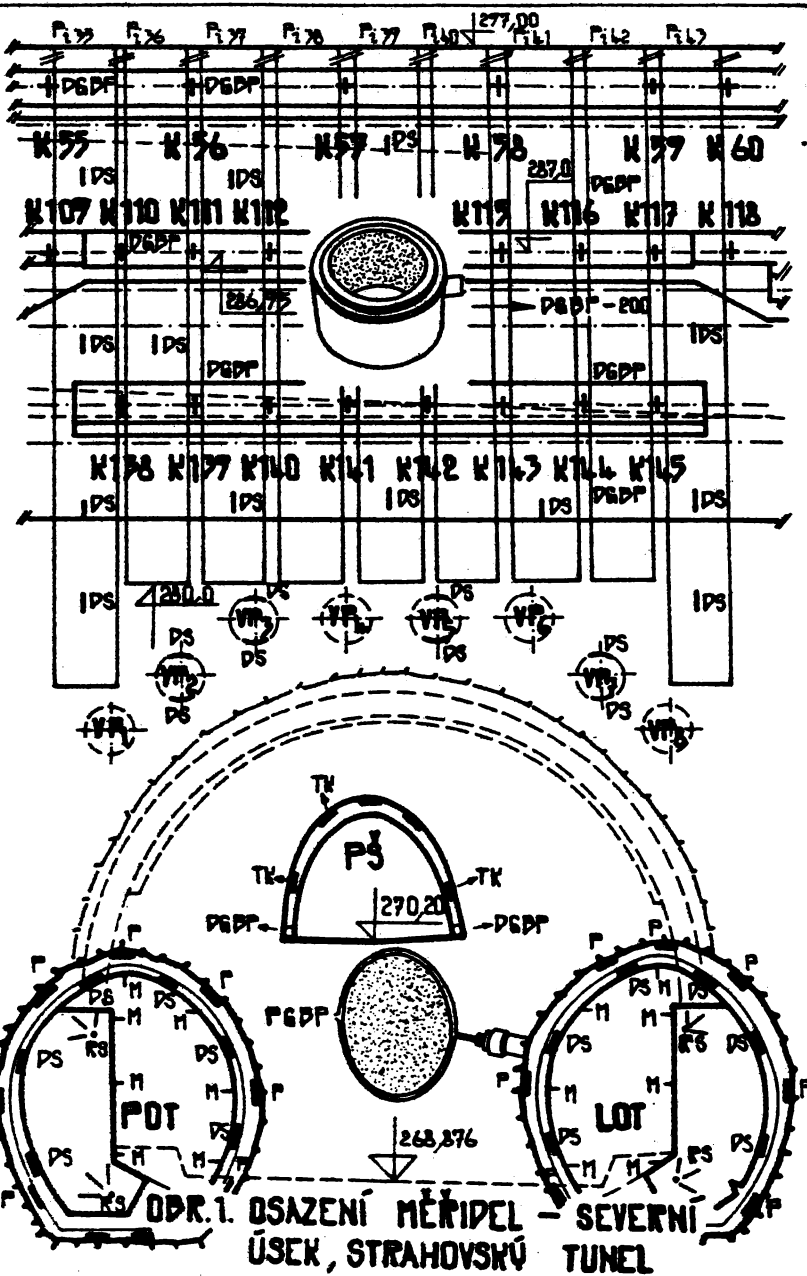
Metoda zpětné analýzy napětí je avantgardní a stojí na předním místě experimentálních metod v geomechanice. Jedná se o identifikačních problémech geomechaniky ve spojitosti s okrajovými úlohami metody řešení. Dosavadní způsob analýzy při nevratném přetvoření – čas, nerozlišuje pružnou a plastickou sítěžku přetvoření, jehož přírůstek je nelineární. A proto se tento příspěvek zabývá hlavním poznáním a podněty k novému vývoji v experimentální analýze napětí a deformace při výstavbě Strahovského tunelu v Praze, která zahrnuje komplexní metodiku řešení (matematické modelování, fyzikální modely z ekvivalentních materiálů katedry geotechniky s automatickým snímáním a měřením *in situ*).

Přímá měření a pozorování (*in situ*) v přírodních podmínkách mají čelné místo v tomto článku. Z důvodu nedostatku místa se zabýváme pouze výsledky měření v severním úseku Strahovského tunelu (ražení a hloubení úseku) v Praze. Na obrázku 1 je znázorněno umístění osazení měřidel na konstrukce (ražení průzkumné štoly /PŠ/, pravý opěrový tunel /POT/ a levý opěrový tunel /LOT/). Další vysvětlujeme následovně: dynamometr Geo-Brno-PUDIS strunový, dálkového snímání 200,100,60 /DGBP/; polštáře Geo-Brno-PUDIS s dálkovým snímáním /PGBP/ nebo /P/; Měřící body pro konvergenci /M/; dvojice strunových tenzometrů /DS/; růžice strunových tenzometrů /RS/; vodorovné piloty /VP/ – deštníková metoda; svislé piloty /R/ a ketvy /K/.

Smykové prvky v uzlové zóně průzkumné štoly byly stanoveny následovně: dvojice snykového prvku, převrácení dvou sad spár, rotace čtyř sad spár a čtyři sady spár (rozpuškaná jílovitá bridlice a žilky pyritu). Celkové moduly ve snyku mají rozsah 13 až 61 procent modulů ve snyku neporušené horniny. Z relativních posunů spáry

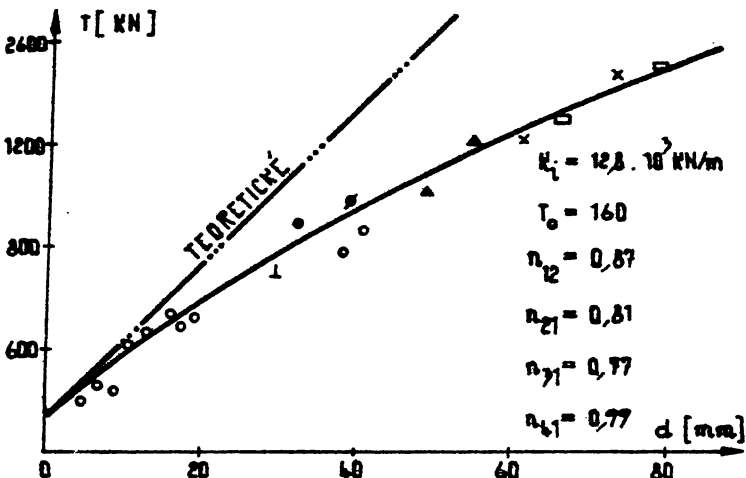
bylo zjištěne nelineární napětí pro uzel spáry. Rozdíl lineárních a nelineárních napětí jsou reziduální napětí, která dávají zbytkové sily na uzlech. Vliv tangenciálních posunů na normální posuny, t.j. efekt dilatace, způsobuje problémy konvergence, které byly zvlášť vyřešeny. K odstranění možnosti všech smykových prvků (umělým omezením komplexního systému spár) a osazení sady radiálních prvků, které na sebe berou stupně volnosti uzlových zón, bylo zavedeno: stříkání betonu o tloušťce 90 mm, až o pevnosti ve smyku 2,7 MPa a v tahu 1,1 MPa a dále osazení kotvy 2,1 m dlouhé o průměru 26 mm na čtvercové mříži 1,4 m. Výsledek ukazuje, že při modelování (zpětná analýza) stříkání betonu a kotvy, relativní posun mezi uzly prvku uvnitř uzlové zóny se přiblíží k nule a průběh kontaktního napětí byl rozhodující při chování celkového systému Strahovského tunelu a okolí. Další výsledek měření například radiálního napětí se pohybuje v rozmezí 0,03 až 0,05 MPa na ražení úseku v POT a LOT.

Chování kotev "zatížení - posun" ze zkoušek *in situ* severního portálu Strahovského tunelu (viz zakotvení pilotové stěny - obr. 1 a 2) ukazuje hyperbolický průběh posunu měřeného na hlavě kotvy k zatížení. Na obrázku 2 v uvedeném diagramu teoretická čára odpovídá pružné deformaci volné části předpínacího prutu kotvy. Její sklon představuje teoretickou tuhost kotvy, označené K_t . Přičemž teoretická tuhost kotvy je rovna poměru modul pružnosti oceli násobený průřezovou plechou předpínacího prutu k délce volné kotevní délky. Parametr "a" představuje obrácenou hodnotu počáteční tangenciální tuhosti K_i a T_0 je počáteční zatížení používané pro uložení předpínacího prutu. Na druhé straně - "b" - je obrácená hodnota zatížení kotev pro nekonečný posun, t.j. asymptota hyperboly, označujeme T_h . Tangenciální tuhost odpovídající návrhovému dovolenému zatížení kotvy označujeme pro provozní zatížení K_p a pro trvalé zatížení K_k . Jelikož experiment ukazuje, že tuhost při odtěžování - zatěžování K_h , závisí na úrovni zatížení, při kterém se cyklus odtěžování-zatě-

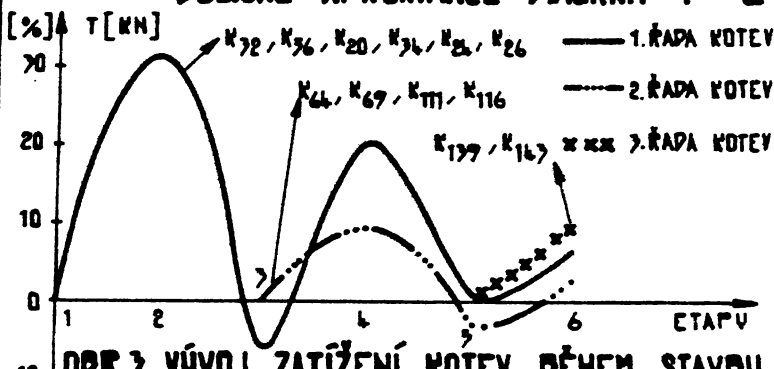


SÍLY V KOTVÁCH:

KOTVA č.	K_{72}	K_{77}	K_{56}	K_{167}	K_{177}	K_{10}	K_{64}	K_{55}	K_{24}	K_{26}	K_{111}	K_{116}	K_{67}
PŘED KN	650	690	660	670	645	615	670	650	650	770	1200	670	670
OZN.	○	○	⊥	○	○	×	○	○	○	×	□	○	○



OBR. 2 ZAKOTVENÍ PILOTOVÉ STĚNY A HYPERBOLICKÉ APPROXIMACE DIAGRAM T - d



OBR. 3. VÝVOJ ZATÍŽENÍ KOTEV DĚLEM STAVBU, PROCENTEM JEJICH PŮvodní HODNOTY

žování provádí, byla přijata průměrná hodnota K_1 pro každou zkoušku. Parametry uvedené v diagramu jsou následující: n_{12} je poměr K_1 ke K_t , n_{21} je poměr K_p ke K_1 , n_{31} je poměr K_k ke K_1 , n_{41} je poměr K_q ke K_1 . Z uvedených parametrů vyplývá, že počáteční tangenciální tuhost se může podstatně lišit od teoretické tuhosti. Ve všech případech n_{12} jsou menší než 1, to znamená, že K_1 je nižší než K_t . Je-li K_1 větší než K_t , pak jsou srovnávány s kontrolem délky a přesunem smyku podél volné délky. Při koeficientu n_{21} a n_{31} ukazují oba dva případy značný rozdíl mezi průměrnou tangenciální tuhostí pro provozní i trvalé zatížení a K_1 . Z diagramu obr. 3 vyplývá, že světzení předpětí kotev zlepšuje celkovou účinnost, t.j. zmenšení pesunu piletové stěny a zeminy. Dále ukazuje, že vývoj zatížení kotev během stavby je vyjádřen v procentech jeho původní hodnoty.

Vzávěru můžeme konstatovat, že polní zatěžovací zkoušky ukazují, že mechanické chování zemních kotev je výsece nelineární a lze přibližně je snázornit hyperbolickým modelem typu používaného pro nelineární analýzu zemin - t. j. spětná analýza napětí při posouzení konstrukce. Měření in situ umožňuje jednoduché kvantifikování neshod mezi skutečnou a teoretickou tuhostí kotev a spelehlivé interpretace polních měření ve spětných analýzách.

Literatura:

- Kameníček, I., Nasari, F.: Projekt kontrolních měření při výstavbě Strahovského tunelu 1986-1990, PÚDIS Výroční správa, Praha 1985
- Nasari, F.: Kontaktní napětí a síly, cyklus přednášek Modely, konstrukce a podložky, Depraveprojekt, Brno 1988
- Nasari, F.: Kontaktní napětí při posouzení podzemní konstrukce, EAN 1988, 26. celestátní konference ČSVTS Hlany, 1988